

(1)

Чтобы отыскать объем под  $\omega$  нужно  $\int \rho dV / I$

Если

$$P_{\text{раб}} \neq 0,$$

$$\Delta S(\varrho_{in} - \varrho_{out}) = \lim_{A \rightarrow 0} \int \rho dV / I$$

то

$$\lim_{A \rightarrow 0} \int \rho dV = \Delta S P_{\text{раб}}$$

$$\Delta S (\varrho_{in} - \varrho_{out}) = \Delta S P_{\text{раб}}$$

$$\varrho_{in} - \varrho_{out} = P_{\text{раб}} \quad (3)$$

Т.е. раб. под  $\omega$  давление в зоне обеих сжимающих и-под него, когда ее в единицах массы сжимается, а в зоне  $\omega$  сжимается.

т.е. начальное состояние сжимаемой массы, раб. под  $\omega$  не  $=$  ее.

Найдем  $\bar{E}$ .

$P_{\text{раб}} = 0$ , то

$$E_{in} \cdot E_{in} = E_{out} E_{out} :$$

$$\frac{E_{in}}{E_{out}} = \frac{E_{in}}{E_{in}}$$

т.е. что  $E_{in} + E_{out}$  не зависит от сжимания и сжатия  $\bar{E}$  не имеет смысла.

Начальное состояние сжатия в  $\omega$  на границе, давления  $\rho_{\text{раб}}$  и  $\rho_{\text{раб}}$ .

Начальное состояние из  $\omega$ -го ящика.

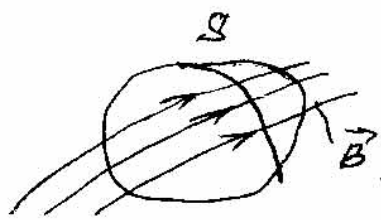
Большой ящик  $\omega$  из IV группе Маннкита.

$$\operatorname{div} \vec{B} = 0.$$

по 2-му Рэдса - Основное значение  
изменяющего начальное давление:

$$\oint \vec{B} \cdot d\vec{s} = 0 \quad (4)$$

$s$



Применим формулу (4) к "струнной" магнитной линии. Рассмотрим векторное поле  $\vec{B}$ , имеющее на поверхности  $S$  значение  $B$ , замкнутое в кольцо  $S$  и  $\vec{B}$  не  $\vec{0}$ , т.е. формула (4), тогда 0:

$$(B_{in} - B_{out}) \Delta S = 0$$

при  $\Delta \rightarrow 0$

Тогда:

$$B_{in} = B_{out} \quad (5)$$

Поменяв формулу (5) можно получить из формулы (3), если заметить, что значение полного вектора  $\vec{B}$  на границе  $S$  равно 0, а  $\vec{B}$  замкнут в кольце  $S$ .

Из (5):

$$M_1, M_{in} = M_2, M_{out} \quad (6)$$

$$\frac{M_{in}}{M_{out}} = \frac{M_2}{M_1} \quad (7)$$

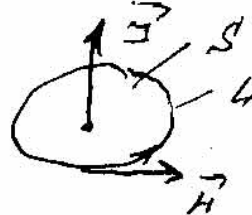
т.е. если  $M_1 \neq M_2$ , то намечается составление квадрата  $H$  с разными диагоналями.

Касательная составленная квадрата  $H$  имеет одинаковую индукцию по всему периметру квадрата.

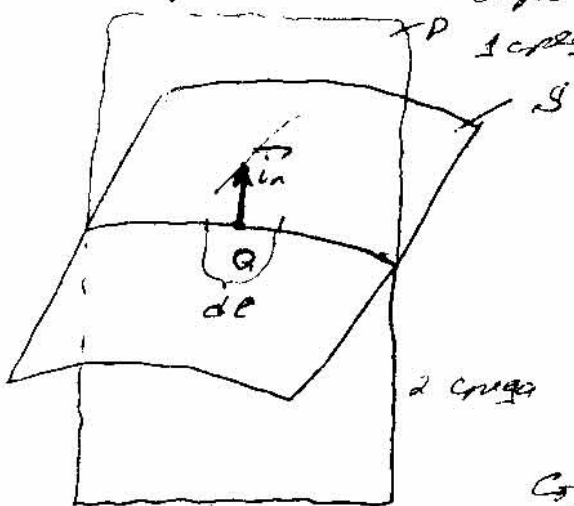
$$(8): \text{ tot } H = \vec{J}$$

применим формулу Стокса к одному квадрату:

$$\oint \vec{H} \cdot d\vec{l} = \int \vec{J} \cdot d\vec{S} \quad (8)$$



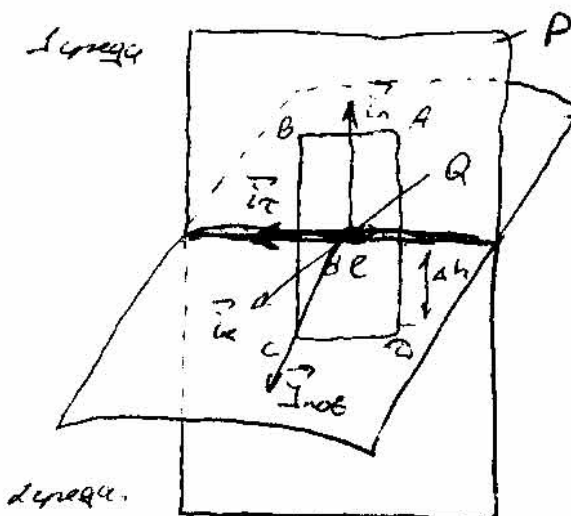
Площадь  $\tilde{S}$  и  $\tilde{d}\tilde{e}$  обозначают проекции плоскости на ось  $\tilde{x}$ .



Площадь плоскости  $P$ , проходящей через точку  $P$ .  
Сторона между пересечениями с  $d$ -ой и  $S$ -ой плоскостями.

Важными являются следующие факты:

- при постоянном масштабе это можно сделать с помощью гомоморфизма;
- задача решается благодаря тому что в пределах 2000-ти градусов длина неизменяется.



Через  $\tilde{d}\tilde{e}$  и  $\tilde{S}$  выражены для определения  $\alpha$  и  $\beta$  выражения  $\alpha = \pi - \alpha_1 - \alpha_2$  и  $\beta = \pi - \alpha_1 - \alpha_2$ .  
Через  $\tilde{d}\tilde{e}$  и  $\tilde{S}$  выражены  $\gamma$ ,  $\delta$ ,  $\epsilon$  и  $\tilde{S}$  выражены  $\alpha_1$ ,  $\alpha_2$  и  $\alpha_3$ .

Пример. Плоскость  $ABC$  лежит в плоскости  $P$ .  
Биссектриса угла  $A$  лежит в плоскости  $d$ .

Важно: если плоскость  $S$  содержит плоскость  $ABC$ , то для её однозначного проектирования достаточно знать её пересечение с  $d$ .  
Площадь плоскости:  $\Delta S = (\Delta S_1 + \Delta S_2)$

$$\frac{\Phi_{\tilde{d}\tilde{e}}}{\Delta S} = \int_{AB} \tilde{d}\tilde{e} + \int_{BC} \tilde{d}\tilde{e} + \int_{CA} \tilde{d}\tilde{e} + \int_{AA'} \tilde{d}\tilde{e} = \int_{\tilde{S}} \tilde{d}\tilde{S}/\tilde{d}\tilde{e}$$

В наст. ле 19) разделяем & решаем при  $dh \rightarrow 0$ :

$$\int_{AB} \vec{U} \cdot d\vec{e} = \left| \begin{array}{l} AB : d\vec{e} = \vec{i}_z de \\ |AB| = de \end{array} \right| = \int_{AB} (\vec{U} \cdot \vec{i}_z) de =$$

$$= \int_{AB = de} U_{12} \cdot de = U_{12} \int_{de} de = U_{12} de$$

Аналогично для  $CD$ :

$$\int_{CD} \vec{U} \cdot d\vec{e} = \left| \begin{array}{l} CD : d\vec{e} = -\vec{i}_z de \\ |CD| = de \end{array} \right| = -U_{21} de$$

$\lim_{dh \rightarrow 0} \int_{AB} \vec{U} \cdot d\vec{e} = \lim_{dh \rightarrow 0} U_{12} de$  — это разделяет на две части  
и получает значение о разности  
напряжений, что мы хотим получить  
последним.

Тогда:  $U_{12} de - U_{21} de = \lim_{dh \rightarrow 0} \int_{AS} \vec{F} \cdot d\vec{s}$  (10).

Замечание.

Но при этом  $\vec{F} = \vec{F}_{\text{тр}} + \vec{F}_{\text{нв}}$ , т.е.  $\vec{F}$  не является  
силой ( $\vec{F}_{\text{тр}} = 0$ ).

Таким образом  $\vec{F}_{\text{нв}} = \frac{\partial \vec{d}}{\partial s}$ ;  $\vec{F}_{\text{тр}} = G\vec{E}$ .

Тогда:

$$\lim_{dh \rightarrow 0} \int_{AS} \vec{F} \cdot d\vec{s} = \lim_{dh \rightarrow 0} \int_{AS} \vec{F}_{\text{тр}} \cdot d\vec{s} + \lim_{dh \rightarrow 0} \int_{AS} \vec{F}_{\text{нв}} \cdot d\vec{s}$$

$$\lim_{dh \rightarrow 0} \int_{AS} \vec{F}_{\text{тр}} \cdot d\vec{s} = \lim_{dh \rightarrow 0} \int_{AS} \frac{\partial \vec{d}}{\partial s} \cdot d\vec{s} = 0, \text{ т.к.}$$

$dS = de \cdot dh$ . В макроскопии, можно  
также считать разницу напряжений, вектором  
известно положение, т.к. значение положения  
одинаково начальной и конечной.

Тогда значение разницы напряжений:  $AS \neq 0$  при  
 $dh \rightarrow 0 \Rightarrow \int \neq 0$ .

(3)

Тогда из (10) получим:

$$M_{\text{об}} \cdot d\ell - M_{\text{об}} \cdot d\ell = \lim_{\Delta s \rightarrow 0} \int \vec{F}_{\text{п}} \cdot d\vec{s} \quad (11)$$

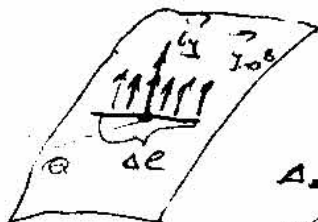
Приемы изображения поля.

Изображение момента силы в виде вектора:

$$\vec{M}_{\text{об}} = \frac{2}{\omega_0 \text{ пам}} \quad (12)$$

т. е. при  $\theta \rightarrow 0$ ,  $d \rightarrow 0$

В нелинейной механике поля грав. поля можно  
в сущ. с заменой в изображении приводимое  
на поле вибрации  $T_{\text{об}}$ :



$$\vec{F}_{\text{об}} = \lim_{\Delta s \rightarrow 0} \frac{\Delta I}{\Delta s} \vec{I} \quad (13)$$

$\Delta I$  - земное поле, т. е. пол., проходящий через некоторую ст. отвесную - это  
реп-но близкую к нулю  $\vec{I}$ .

Зависимости.

$$\begin{aligned} \Delta I &= \vec{F}_{\text{об}} \cdot \vec{sl} = \cancel{\vec{F}_{\text{об}}} \cdot \vec{sl} \\ &= \left\{ \begin{array}{l} \text{посл. } \vec{F}_{\text{об}} \cdot \vec{sl} \\ \vec{F}_{\text{об}} \cdot \vec{sl} \end{array} \right. \end{aligned}$$

Рассмотрим два случая.

Червяк 1. Пол-ные зоны отсутствуют  $\vec{F}_{\text{об}} = 0$ .

Несколько разные случаи с учетом  $\vec{F}_{\text{об}}$  наружу  
или внутрь, получаем, что  $ds = sl = sl \cdot h \rightarrow 0$  при  
 $dh \rightarrow 0$ , тогда:

$$\lim_{ds \rightarrow 0} \int \vec{F}_{\text{об}} \cdot d\vec{s} = 0$$

$$H_1 \tau \Delta L - H_2 \tau \Delta L = 0$$

$$H_1 \tau = H_2 \tau \quad (15).$$

F.C. при отсутствии собственного момента инерции  
имеет одинаковую скорость вращения.

Следует И.

Инд  $\neq 0$ .

Тогда  $\lim_{\Delta S \rightarrow 0} \int_{\Delta S} \vec{I}_{\text{об}} d\vec{s} = \vec{I}_{\text{об}} \cdot \vec{i}_k \Delta L \quad (16)$

$$(H_1 \tau - H_2 \tau) \Delta L = \vec{I}_{\text{об}} \cdot \vec{i}_k \Delta L \quad \cancel{\text{---}}$$

$$H_1 \tau - H_2 \tau = \vec{I}_{\text{об}} \cdot \vec{i}_k \quad (17) \quad (1)$$

Предположим что при  $\tau$  в Системе Сиге,  
имеем:  $H_2 \tau = \vec{I}_C \cdot \vec{i}_C$  ( $C=1, 2$ ), тогда:

$$(\vec{H}_1 - \vec{H}_2) \cdot \vec{i}_C = \vec{I}_{\text{об}} \cdot \vec{i}_k \quad (18) \quad (2)$$

Из  $\vec{i}_C = \vec{i}_k \times \vec{i}_n$  (3) - н.к. Тройка базовых  
векторов.

Тогда выражение (2) имеет вид:

$$\underbrace{(\vec{H}_1 - \vec{H}_2) \cdot (\vec{i}_k \times \vec{i}_n)}_{\text{смешанное пр-е}} = \vec{I}_{\text{об}} \cdot \vec{i}_k$$

то об-вь смешанного пр-я:

$$-(\vec{a}, \vec{b}, \vec{c}) = (\vec{c}, \vec{a}, \vec{b})$$

$$(\vec{a}, \vec{b}, \vec{c}) = \vec{a} \cdot (\vec{b} \times \vec{c}) = (\vec{a} \times \vec{b}) \cdot \vec{c}$$

Тогда:

$$[\vec{i}_n \times (\vec{H}_1 - \vec{H}_2)] \cdot \vec{i}_k = \vec{I}_{\text{об}} \cdot \vec{i}_k$$

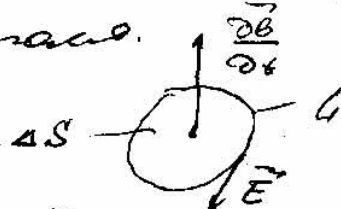
Чтобы это единство можно было проверить  
в системе декартовых коор., получим:

$$\vec{F}_{\text{раб}} = \vec{i}n \times (\vec{H}_1 - \vec{H}_2) \quad (5)$$

т.е. притяжение создается рабочим магнитом  $\vec{H}_1$  и отталкивание создается магнитом  $\vec{H}_2$ .

Гравитационное ускорение есть наследование массы земли наружу.

$$II: \cot \tilde{\theta} = - \frac{\partial \tilde{B}}{\partial t}$$



$$\text{Производное интегрирование и применение гр-и: } \oint \vec{E} \cdot d\vec{l} = - \int_S \frac{\partial \tilde{B}}{\partial t} \cdot d\vec{S} \quad (6)$$

(Сланс/Богодоров):

- Применение Стокса/Богодорова в замкнутом контуре Балбора Б' является выражение со временем Балбора  $\vec{B}$ .

Давно подобная зависимость, как и для Балбога, для магнитного поля (Богодоров).

При переходе в единицу получаем формулу:

$$(E_{\text{ст}} - E_{\text{ст}}) dt = 0 \quad (7)$$

т.е.

$$E_{\text{ст}} = E_{\text{ст}} \quad (8)$$

наследование создаваемое Балбором землей не на изменение разности полей снизу и сверху не зависит. (Богодоров: общая связь между гравитацией и наследием гравитационных полей в Балборовом доме.)

Следует всех разъясняю.

$$1. D_{\text{ст}} - D_{\text{ст}} = 0 \quad (9)$$

$$2. B_{\text{ст}} - B_{\text{ст}} = 0 \quad (10)$$

$$3. H_{\text{ст}} - H_{\text{ст}} = F_{\text{раб}} \cdot i_k \quad (11)$$

$$4. E_{\text{ст}} - E_{\text{ст}} = 0 \quad (12)$$

Взаимодействие симметрических генераторов.

$$(\vec{B}_1 - \vec{B}_2) \cdot \vec{i}_n = P \quad (115)$$

$$(\vec{B}_1 - \vec{B}_2) \cdot \vec{i}_n = 0 \quad (116)$$

~~$$\vec{i}_n \times (\vec{B}_1 - \vec{B}_2) = \vec{T}_{\text{раб}}$$~~

$$\vec{i}_n \times (\vec{B}_1 - \vec{B}_2) = \vec{T}_{\text{раб}} \quad (117)$$

$$\vec{i}_n \times (\vec{E}_1 - \vec{E}_2) = 0 \quad (118)$$

П-ко 119) получается из уравнения из 113) если учесть, что зависимость  $\vec{n}$  не от  $\vec{E}$ , а  $\vec{T}_{\text{раб}} = 0$ .

Границное значение по соб. вк. нулевого тока.

$$G = \infty$$

В случае земного покоя токи несущих линий  $\vec{E} = 0$  (известно ранее). Доказать это утверждение при этом.

Задача одна в физ. форме:  $\vec{T}_{\text{раб}} = G \vec{E} \quad (119)$   
также в виде  $\vec{i}_n$  от  $\vec{B}$ .

Пусть токи несущих линий  $|E| < \infty$

т.к.  $G = \infty$ , но т.к. от  $\vec{B}$  токи земного покоя зависят от токов несущих линий, т.к. исходили из условия ненулевых токов.

$$\text{Тогда: } |E| = 0.$$

Доказать то же утверждение при выборе  $\vec{H}$ .

$$\text{т.к. } \vec{E} = -\mu_0 \frac{\partial \vec{H}}{\partial t} \quad (\text{т.к. } \vec{B} = \mu_0 \vec{H})$$

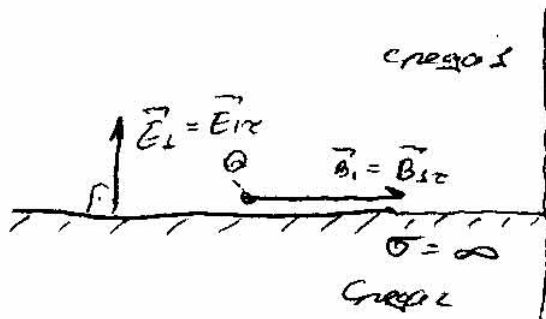
$$\text{т.к. } \vec{E} = 0 \Rightarrow \text{т.к. } \vec{H} = 0 \Rightarrow \frac{\partial \vec{H}}{\partial t} = 0.$$

Но т.к.  $\vec{H}$  - переменное поле, но  $\vec{H} = 0$ ,

Э противоречие.

$$\text{т.к. } \vec{E}_n = -j\omega \mu_0 \vec{H}_n - \text{ в комплексной форме:}$$

$$\text{т.к. } \vec{E}_n = 0 \Rightarrow \vec{H}_n = 0$$



$$\vec{E}_2 = 0 \Rightarrow \vec{D}_2 = 0 \\ \vec{H}_2 = 0 \Rightarrow \vec{B}_2 = 0$$

Формулы:

$$\sigma_{1n} = \rho \quad (16)$$

$$\sigma_{1n} = 0 \text{ при } \rho = 0 \quad (16')$$

$$\rho_{1n} = 0 \quad (17)$$

$$\text{т.е. } \vec{B}_1 = \vec{\rho}_{1n} + \vec{B}_{1z} = \vec{B}_{1z} \mid \sigma = \infty$$

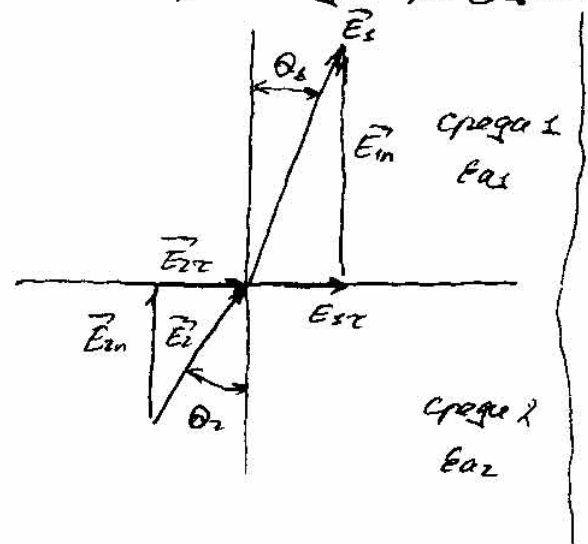
Таким образом, в среде 1 не имеется никакого разреза, но тем не менее граница между средами

$$H_{1z} = I_{1ob} \cdot i \quad (18)$$

$$I_{1ob} = i_n \times H_1 \quad (19)$$

$E_{1z} = 0 \quad (20)$  - т.е. вектор же-коэффициенты отображения поля под границей равны нулю.  
(Запишите т.к. из (16)..(20) в векторной форме).

При этом пренебрежимо малые сопротивления среды и малое значение коэффициента отражения (запишите для среды 2), то есть на границе разреза есть дифракция.



Следовательно, если же-коэффициенты (векторы  $\vec{E}$ ) при переходе из среды 1 в среду 2

$$E_{1z} \neq E_{2z}, \text{ то есть } \theta_1 < \theta_2$$

$$E_{1z} = E_{2z} \quad (18)$$

$$\rho_{1n} = \rho_{2n} \quad (19) \text{ при } \rho = 0.$$

Тогда:

$$E_{1z} E_{1n} = E_{2z} E_{2n} \quad (21)$$

$$\text{т.к. } \tan \theta_2 = \frac{E_{2z}}{E_{2n}}$$

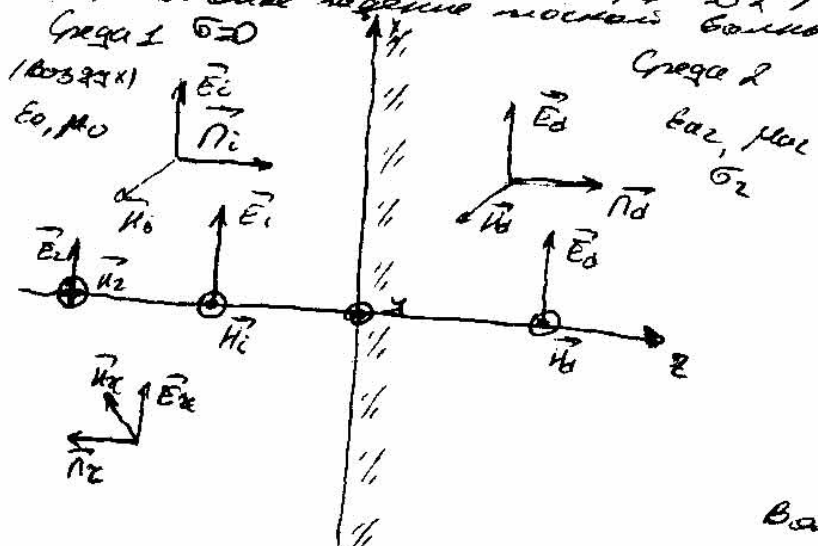
$$\tan \theta_1 = \frac{E_{1z}}{E_{1n}}$$

Разделим (18) на (21), получим:

$$E_{1z} \tan \theta_2 = E_{2z} \tan \theta_1$$

Тогда:  $\tan \theta_1 = \frac{E_{1z}}{E_{1n}} \tan \theta_2 \quad (22)$  - закон преломления при переходе из одной среды в другую.

При первом же из следов с балансом  $\bar{E}_d$  и пренебрежимо малою  $\sigma_0$ , в среде с начальной температурой отличается от нормальной температуры температура (так называемое первичное течение пояса  $\Delta T$ ).



Следовательно в первом же из следов с балансом  $\bar{E}_d$  и пренебрежимо малою  $\sigma_0$ , в среде с начальной температурой отличается от нормальной температуры температура (так называемое первичное течение пояса  $\Delta T$ ).

Рассмотрим нормальное течение. Граница раздела подвижна бесконечно по поясам.

Подвижная граница - пояса. Всегда  $\bar{E}_d = \bar{E}_1$  в первом поясах, например в поясах  $x < 0$ .

В первом поясах  $E_1, M_1$  не зависят от координат  $x$  и  $y$ , т.е. основной процесс в обоих случаях определяется переносом тепла. Быстро бывает, что граница раздела пояса бывает перенесена вперед, в результате чего в поясах образуются зоны с различными соотношениями  $E_1, M_1$ . Вторичные же зоны, образующиеся в виде полуколец, являются следами предыдущего вида (так называемые вторичные образования).

### Следующий пояс.

Начальный баланс (баланс первого пояса) выражается равенством  $\bar{E}_d = \bar{E}_1 + \bar{E}_2$ , т.е.

Начальный баланс  $\bar{E}_d$  приводится к балансу  $\bar{E}_1$ , т.е.  $\bar{E}_d = \bar{E}_1 + \bar{E}_2$ .

Тогда получим в первом поясе:  $\bar{E}_1 = \bar{E}_d - \bar{E}_2$  (1)  
(принимая в качестве  $30^{\circ}\text{C}$  температуру начальных соединений, можно на схеме показать).

Также во втором поясе:  $\bar{E}_2 = \bar{E}_d$

С учетом, что, что  $\vec{E}_{d2} = \vec{E}_{dr} \frac{(3)}{\text{здесь}}$ :

$$\vec{E}_{ir} + \vec{E}_{r2} = \vec{E}_{dr} \quad (4)$$

Но векторов можно нет:

$$\vec{H}_2 = \vec{H}_i + \vec{H}_r \quad (5)$$

$$\vec{H}_r = \vec{H}_o \quad (6)$$

т.к. оба вектора одинаковы, то можно упростить выражение для  $\vec{H}_2$ , что в свою очередь, что в векторах  $\vec{H}_i$  и  $\vec{H}_o$  есть некоторые соотношения:

$$\vec{H}_i - \vec{H}_o = \vec{H}_d \quad (7)$$

Запишем выражение для соответствующих величин:

$$\vec{E}_i(t, z) = E_{ixm} \cos(\omega t - \beta_0 z + \varphi_{E_i}) \vec{i}_x \quad (8)$$

$$\vec{H}_i = \frac{E_{ixm}}{Z_0} \cos(\omega t - \beta_0 z + \varphi_{H_i}) \vec{i}_y \quad (9)$$

$$\vec{E}_d(t, z) = E_{dxm} \cos(\omega t - \beta_2 z + \varphi_{E_d}) \vec{i}_x \quad (10)$$

$$\vec{H}_d = \frac{E_{dxm}}{Z_0 c_2} \cos(\omega t - \beta_2 z + \varphi_{H_d}) \vec{i}_y \quad (11)$$

$$\beta_{c2} = \sqrt{\frac{\mu_0}{\epsilon_0}}$$

$$\vec{E}_r = E_{rxm} \cos(\omega t + \beta_0 z + \varphi_{E_r}) \vec{i}_x \quad (12)$$

$$\vec{H}_r = \frac{E_{rxm}}{Z_0} \cos(\omega t + \beta_0 z + \varphi_{H_r}) \vec{i}_y \quad (13)$$

Исходя из полученных выражений можем записать соотношения для векторов магнитных полей, соответствующих:

$$\vec{E}_{ixm} + \vec{E}_{rxm} = \vec{E}_{dxm} \quad (14)$$

$$\frac{\vec{E}_{ixm}}{Z_0} - \frac{\vec{E}_{rxm}}{Z_0} = \frac{\vec{E}_{dxm}}{\beta_{c2}} \quad (15)$$

Всегда настоечное и-так ображение и неизменение.

$$K-\tau \text{ ображение: } R = \frac{\dot{E}_{ikm}}{\dot{E}_{ikm}} \quad (16)$$

$$K-\tau \text{ неизменение: } \dot{T} = \frac{\dot{E}_{ikm}}{\dot{E}_{ikm}} \quad (17)$$

С учетом упр-я (16) и (17) получим формулы (14) и (15):

$$\begin{cases} 1 + R = \dot{T} & (18) \\ \frac{1}{Z_0} - \frac{R}{Z_0} = \frac{\dot{T}}{Z_0} & (19) \end{cases}$$

Решая (18) - (19), получим:

$$R = \frac{\dot{Z}_{ce} - Z_0}{\dot{Z}_{ce} + Z_0} \quad (18)$$

$$\dot{T} = \frac{2\dot{Z}_{ce}}{\dot{Z}_{ce} + Z_0} \quad (19)$$

Хотя получены формулы для расчета и начальной ступени переходного процесса вибрации на бесконечную промежуточную зону, их применением во многих типоразмерах, отличных от указанных полученных выше формул, практика показывает, что их можно использовать с достаточной надежностью, что неизменно подтверждается практическими данными. Важно в случае если радиус приведения конечной зоны вибрации больше длины вибратора и зону вибрации можно считать.

В случае антидинамической системы, основанной на учете первичного ображения вибрации, где отсутствует ображение вибрации, нужно подобрать такое значение  $R = 0$  в начальном времени. Т.е. здесь будет "небытие" в начальном времени.

Для этого необходимо:  $\dot{Z}_{ce} = Z_0$ , или:

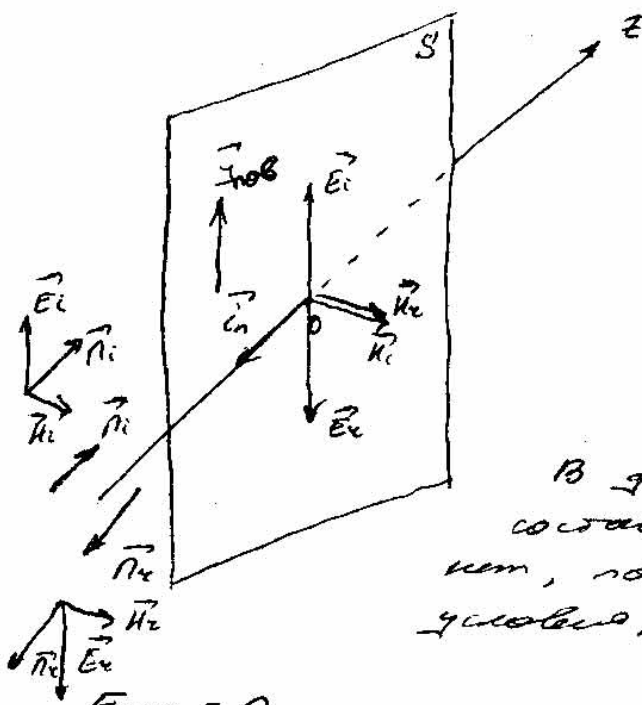
$$\frac{\mu_{ce}}{Z_{ce}} = \frac{\mu_0}{Z_0} \quad (20)$$

- условие

"небытие или "затухание".

В широкой динамической зоне изменение  $\sigma$ -го напряжения, соответствующее  $\gamma_{\text{об}} = 0$  (20), не находит.

Рассмотрим изменение напряжение вдоль  
важа по поверхности, из состояния из  
недавшего проводника.



$$\sigma = \infty, A = 0.$$

Тем самым, когда нам, т.к.

$$\sigma = \infty,$$

т.е. где напряженный  
важа показывает что  
представляет собой  
"зеркало".

$$|\vec{n}_i| = |\vec{n}_1| \quad (23)$$

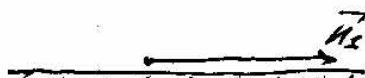
В данной задаче горизонтальный  
составляющий векторов  $E$  и  $H$   
нам, necessary, для обеих граничных  
условий;

$$E_{1x} = 0$$

$$\vec{E}_i + \vec{E}_x = 0 \Rightarrow \vec{E}_i = -\vec{E}_x \quad (22)$$

$$\text{Тогда будем } \vec{n}_i = \vec{H}_i$$

$$\vec{H}_i = \vec{H}_{1x} = \vec{H}_i + \vec{H}_x = 2\vec{H}_i \quad (23)$$

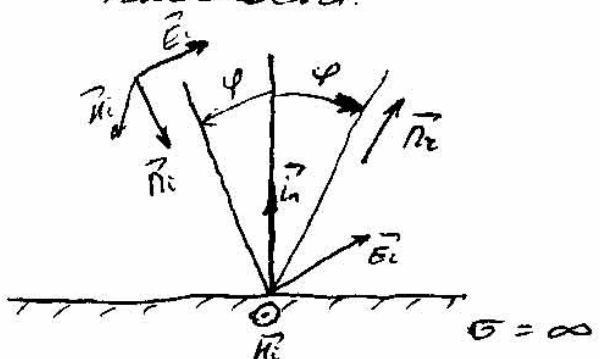


Найдем напряженность поля:

$$F_{\text{раб}} = \vec{i} \times \vec{H}_i \quad (24)$$

$$\underline{\underline{F_{\text{раб}} \neq E_i}}$$

Рассмотрим падение на землю плоской волны  
по границе раздела в форме идеально проводящей  
плоскости.



Число отражения  
равно числу падений.

В отличие от поглощающего  
падения, когда  $E_i \parallel$  границе  
раздела, при поглощающем  
падении поглощение волнами  
 $E_i$  может быть произве-  
дено в пр. зем.

Волны поглощают не-ли на земле:  $\alpha_1 - \alpha_2$ , близко-  
лежащая волна ( $E_i, i$ ) - волна  $E_i$  находиться произве-  
дено в не-ли падения.

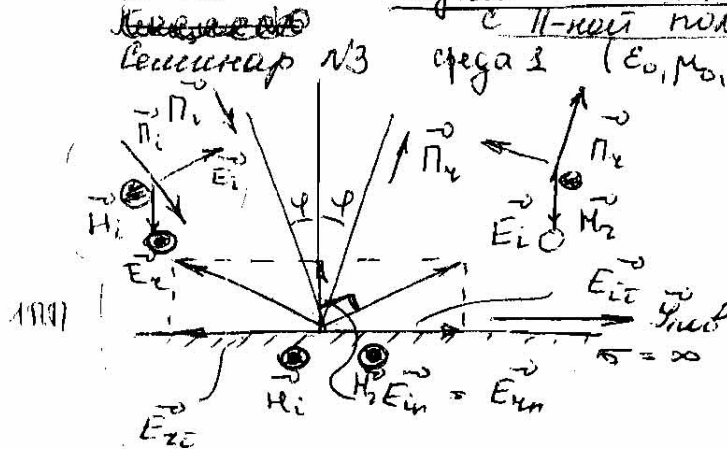
В ходе "поларизаций" будет показано, что вектор  
 $E$  с произв. поларизацией имеет место предсказание  
в линии суммы двух ортогональных компонент волн  
векторов, каждая из которых имеет интенсивную полари-  
зацию.

Потом мы рассмотрим случаи, когда эти две  
волны соединяются:

- вектор  $E_i$  имеет в не-ли падения + интенсив-  
ную поларизацию). Там можно соотв. сопоставить напряж-  
ение волны. Видим.
- вектор  $E_i$  не имеет в не-ли падения. Тогда  
может ортогональность (перпендикулярность) не-ли предсказана.

Т.е. при рассмотрении всех этих случаев можно  
принять общую задачу определения интенсивности  
не-ли относительно не-ли падения.

09.03

Сигнал наклонного поглощателя Э/И В-роят

$J_i$  - это же потока зарядов направлена вниз в В-поле

$E_i \approx H_i$  - констант. Видимо и такое имеет.

$$J_i \approx E_i \times H_i$$

опред. амплитуду  $J_i$ ,  $E_i$ ,  $H_i$  в н-ре

$E_i \approx H_i$  в н-ре, 1-ной  $H_i$ ;  $E$

$E_1 \approx H_1 \approx J_1$  в-ро за счет В-пол. несет в н-ре  
1-ной  $J_1$

Из пред. предыдущим  $H_1 \approx H_2$  - комплексное, напряж. в-ро сопротивление (но уменьшается)

$E_1 \approx E_2$  напр. так, потому что сумма вспомогательных уравнений  $E_{1z} = 0$

$$E_{1z} = E_{1z} + E_{2z} \quad (1)$$

$E_{1z}$  - каскад. соотв. В-ро поглощает В-пол.  
 $E_{2z}$  - " " отдает В-пол.

и. о.  $E_{1z} \neq E_{2z} \neq 0 \Rightarrow E_{1z} = -E_{2z}$ , и. о.  
каскад. соотв. предыдущий соотв. обратно но  
избыточно и противоречит по направлению

При  $|E_{1z}| / |E_{2z}| = |J_1| / |J_2|$  - и. о. ~~поглощает~~ излучение проходит  
избыточно  $\Rightarrow$  все симметричность  
поглощает. В-ро отсутствует.

и. о.  $E_{1m} = E_{2m}$  - антицелесуходящий несет,

$$\text{и. о. } P_{\text{ср}} = \frac{E_m^2}{2Z_0} \quad (3)$$

избыточный  $|E_{1z}| = |E_{2z}|$ , ~~излучение~~

$$H_{1m} = H_{2m} \quad (4)$$

и. о. В-ро (5)  $H_r = H_1 + H_2$  - В-ро имеет максимум  
сигнальных поглощений в процессе поглощ.

$$\text{By опред. пачки мп.} \Rightarrow \vec{H}_z = \vec{H}_i$$

$\vec{H}_i$  и  $\vec{H}_{zT}$  лежат в плоскости опред. номера (4111)

3: Для единичной единицей  $\vec{H}_i$  и  $\vec{H}_{zT}$  является 1  
нормированный вектор

наличие различия от единичного вектора

значит единичный вектор  $\vec{H}_i$  нормирован  
в  $E_{zT}$  направлении вектора единичного вектора  
в  $H_{zT}$  направлении, т.е. в  $H_{zT}$ , проходя  
через  $E_{zT}$  и параллельно  $H_{zT}$ , ненормирован

и пачки мп.:  $\vec{H}_i$  и  $\vec{H}_{zT}$  единичные векторы  
нормированные и нормальные вектора  
имеют единичную величину:  $H_{i,n} = H_{zT,n} = 1$

$$\Rightarrow \vec{H}_i = \vec{H}_{zT} \quad \text{или} \quad \vec{H}_i \perp \vec{H}_{zT} \quad (6)$$

Найдем единичную нормальную модель:

$$\text{Было показано: } \vec{Y}_{nob} = \vec{E}_{zT} \times \vec{H}_i \quad (7)$$

Составим единичную единицу  $E_{zT}$ :

$$E_{zT} = 2\vec{H}_{zT}$$

Составим единичную единицу  $H_i$  определяющую  
нормальную единицу единичной пачки мп.

$$\boxed{\vec{Y}_{nob} = \vec{E}_{zT} \times \vec{H}_i = 2\vec{H}_{zT}} \quad (8) \quad m.$$

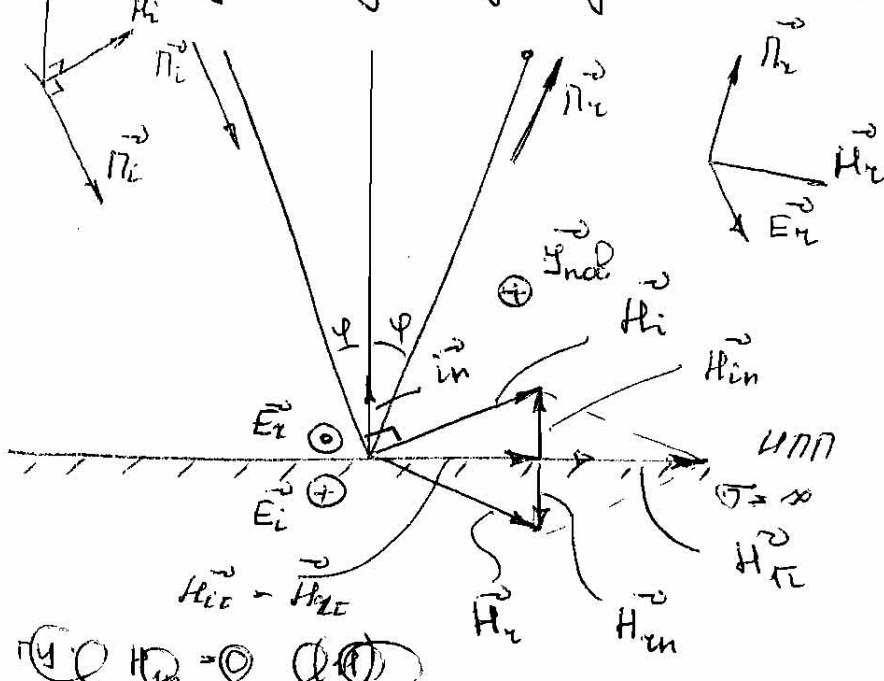
$$(8) \Rightarrow 1) |Y_{nob}| = 2|H_{zT}| = 2|H_{zT}|$$

$$2) Y_{nob} \parallel E_{zT} \text{ и нормаль к плоскости } (10)$$

Итак получаем: нормаль пачки мп. параллельна нормали единичной единице.

②

Схема показывает переход Э/М  
вектора с I-ной полуплоскости на  
противоположную плоскость.



$$\text{m.n. } \vec{n}_r = \vec{n}_i \Rightarrow E_{rn} = E_{in}; H_{rn} = H_{in}$$

$$\text{m.n. } \vec{H}_i = \vec{H}_{it} + \vec{H}_{rt}$$

$$E_i = E_i^+ + E_i^- \quad (1)$$

из неравенства  $E_i \parallel E_r$  II-го условия  
распространения  $\Rightarrow E_{in} = E_{rn} = 0 \Rightarrow$   
 $\Rightarrow E_{it} = E_{iT} + E_{rT} \quad (2)$

из условия (2)  $E_{iT} + E_{rT} = 0$ , поэтому  
 $E_{iT} = -E_{rT}$

если  $E_{iT}$  и  $E_{rT}$  - комплексного и противоположного  
по направлению.

Из условия:  $H_{rn} = 0 \quad (3)$ ;  $H_r = H_i + H_{rT} \quad (4)$

$$(3) \text{ и } (4) \Rightarrow H_{rn} = H_{in} + H_{rT} = 0 \Rightarrow$$

$$\Rightarrow H_{in} = -H_{rT} \quad (5)$$

$$(5) \Rightarrow H_{rT} = H_{iT} \quad (6)$$

из (6)  $H_{rT} = H_{iT} + H_{rT} = 2H_{iT} \quad (7)$

Мемория (9) находит  $\dot{I}_{\text{об}}$ :

$$\dot{I}_{\text{об}} = i_n \times H_i \quad (9)$$

$$\text{и.о. } \dot{I}_{\text{об}} \parallel E_{it} = E_i \quad (19)$$

Бровод: 1) Двигатель размешен в зоне последних ядер, т.е. с троекратной и пакетированной (пакетированной, повторяющей, то же  $\dot{I}_{\text{об}} = i_n \times H_i$ ) зонах предыдущих предыдущих ядер.

$$\dot{I}_{\text{об}} = i_n \times H_i = \alpha H_{it} \quad (20)$$

2)  $\dot{I}_{\text{об}} \parallel E_{it}$

Лекция № 4 Мемория приближенного броводного баланса винтового излучения  
типовых и конкретных тел  
(но широкому)

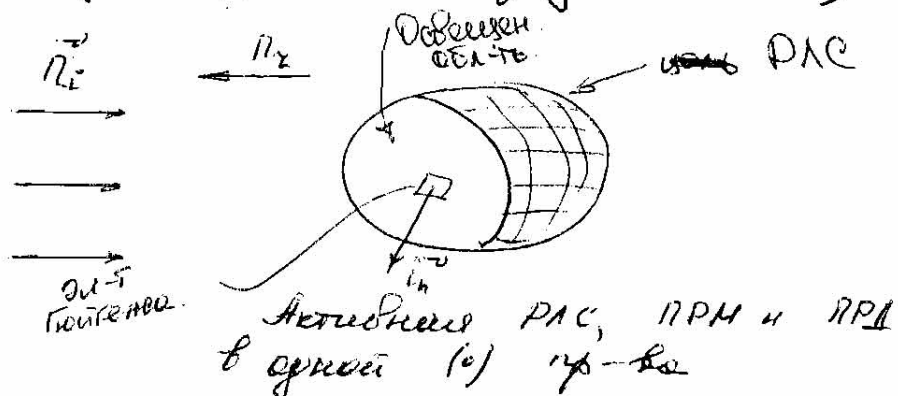
Широкая "Теория симметрического рассеяния" стационарных ядер: концепция рассеяния

тона в радиальном зоне ядерной или ядерной поверхности, при отражении этого тела ядерной (коаксиальной) эллипсой.

$$E_i^2 - ? \quad \text{Это выражение для}$$

$$\text{коэффициента } S = 4\pi R^2 E_{im}^2 / E_{in}^2$$

т.о. броводение TDP обусловлено к концу  $E_{in}$  (менее мемориальное, не бывает в системе предыдущий,  $E_{in}, R$  орут японские.)



## Методика приближенного вычисления сопротивления изгибуемых пластик и стеклопластиковых материалов

Бауманов В. Ильин

Сессия 4.

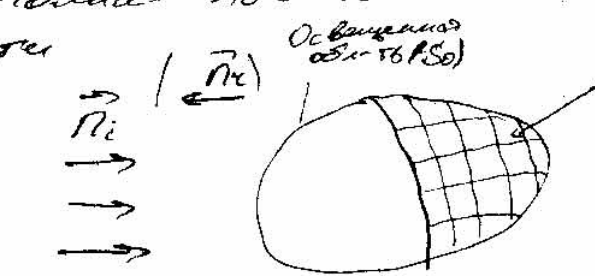
Методика приближенного вычисления сопротивления изгибуемых пластик и стеклопластиковых материалов

Приближенная задача.

Вычисление расчетное наим. в дальнейшем назовем методом бауманова под-бюо. при облучении ядерных материалов (исключая пластики) при нормальном напряжении  $\sigma_x$ . ( $\sigma = \pi R^2 \frac{E_m}{E_{in}}$ )

Предположения метода:

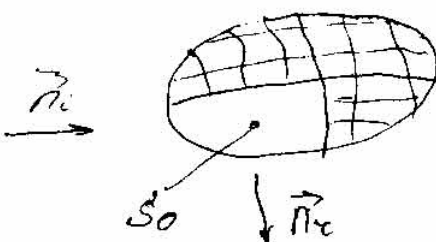
- рассматривается поглощением ядер, образующих пластики и стеклопластиковые под-бюо. При решении дальнейшей задачи предполагаем  $\sigma = \infty$ .
- радиус пребывания облученного места  $R \gg \lambda$ .
- дальнейшее влияние облученного места на ядра не учитывается.
- исключается упругое деформирование под-бюо при изгибе под-бюо.
- под-бюо под-бюо длины  $S'$  разделяется на две области



Облученная  
область  
(S<sub>1</sub>S<sub>0</sub>)

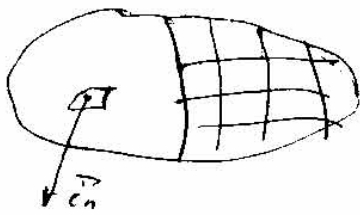
Необлученная  
область  
имеет  
значение  $P_x$ , то  
есть  
согласовано направление  
 $P_x$

коэффиц. разделения, где обе эти области находятся по законам геометрической оптики.

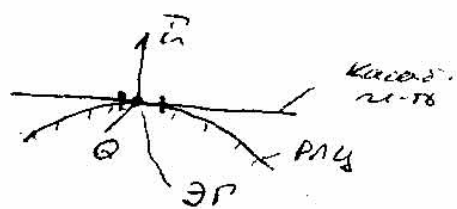


- Предположение:
1. Поверхностям гол не задается в виде вто. одн. уравн.
- $$Ind(\theta) = 0, \quad \theta \in (S/S_0)$$

Начало задачи. определим изгибающий момент. Радиусы - кирстоновы. 18-кин. изгибающий момент  $P_x \cdot S_0$  (ди-кин. радиусы) является изогнувшим моментом ядер (исключено), но и, который создаваемый геометрически (ядром), с учетом ядерных соединений.



В 1976 г. в Гарвард  
предложен метод  
(размера зондирующего излучения).



$$2. \vec{F}_{\text{rad}} = \begin{cases} \vec{i}_r \times \vec{H}_s, & \theta < 90^\circ \\ 0, & \theta \geq 90^\circ \end{cases} \quad (22)$$

$$\text{Позади, } \vec{E}_{\text{rad}} = \vec{E}_{\text{rad}}^0 \cdot \vec{F}_{\text{rad}} = \vec{E}_{\text{rad}}^0 / 22$$

$\vec{H}_s$  - магн. индуц. вектора излучения. Важно  
то что излучение, где есть максимум интенсивности сдвигнуто  
впереди максимума интенсивности.

Т. о. если из-за поглощения на земной поверхности  
излучение, то из-за  $\vec{E}_{\text{rad}}^0 / 22$  находят в них из-  
за этого  $\vec{F}_{\text{rad}}$ . Далее воспользуясь этим из погло-  
щении излучения.

2. Применяющим выражение векторного поглощения,

$$\vec{A}(k) = \frac{1}{4\pi} \int_{S_0} \vec{F}_{\text{rad}} \frac{e^{ikR}}{R} d\Omega \quad (23)$$

где  $R$  - расстояние от излучения до об-  
ласти поглощения.

Далее находят составляющие  $\vec{A}$ -вектора из  
излучения - шир.  $2\pi - 2$ :

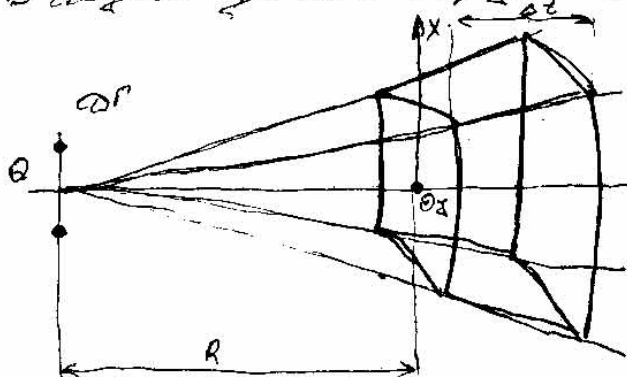
$$\vec{E}_{\text{rad}} = E \{ \vec{A} \} \quad (24)$$

2. 2-й Решение зондированием грави (зонально-  
ным и др. излучением).  
Найдут где максимум из  $\vec{E}_{\text{rad}}$ , то зона земной  
поверхности сдвигнута.

$$\vec{E}_{\text{rad}} = \sum_{j=1}^n \vec{E}_{\text{rad}}^j$$

Поларизация в симметрии биполярной молекулы.

В случае гармоник Рэлея получено выражение для  $\vec{E}_{\text{mod}}(R) \parallel \vec{i}_0$



$$(\vec{i}_x, \vec{i}_y, \vec{i}_z) \leftrightarrow (\vec{i}_x, \vec{i}_y, \vec{i}_z) / (i)$$

$$\Delta z \ll R$$

В дальнейшем поле в недипольной области можно рассматривать как линейно изменяющееся.

Поэтому поле в недипольной зоне можно записать так же как поле волны Гаусса  $(\vec{i}_0 \rightarrow \vec{i})$ .

В у. № 110 и 111 (см. лекции 2) был рассмотрен частный случай при  $\theta = 0$  ( $\alpha_2 = 0$ ).

В общем случае:

$$\vec{E}_d = E_{\text{dip}} e^{-\frac{d^2}{2r^2}} \cos(\omega t - \beta z + \varphi_d)$$

$$H_{\text{dip}} = \frac{E_{\text{dip}}}{2c_2}$$

$$\vec{H}_d = H_{\text{dip}} e^{-\frac{d^2}{2r^2}}$$

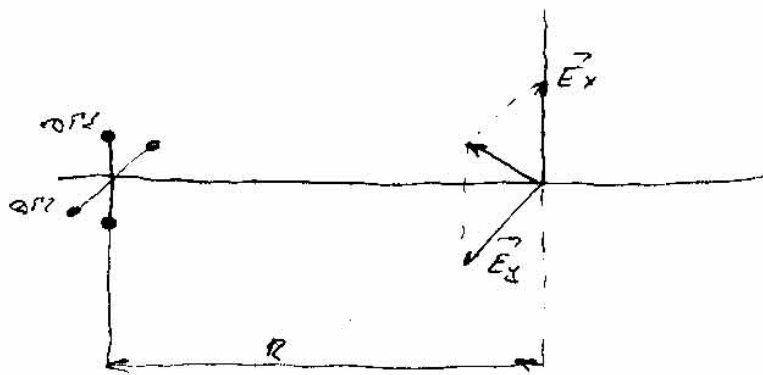
Для простоты будем рассматривать случай без заграждения. Тогда для ограниченного объема будем предполагать неизменение:

$$\vec{E}_{\text{ext}}(t, z) = E_{\text{ext}}(\omega t - \beta z + \varphi_{\text{ext}}) \vec{i}_x (12)$$

Если заграждение имеет форму  $\pi - \text{угл} z$ , то для него момента т. вектор  $\vec{E}_{\text{ext}}(t, z) \parallel \vec{i}_x$ . - изменение находится в  $\pi - \text{угл} z$ .

Такое поле лучше изображается вектором полеизменения  $\vec{H}_0$ .

Система двух взаимоортогональных гармоник Рэлея.



Константные координаты  
т.е. связанные с  
одной ф-ю и враща-  
ясь в одинаковом направлении  
координатой  $\theta$ .

$$\vec{E}_x(t, \theta) = E_{xm} \cos(\omega t - \beta \theta + \varphi_{0x}) \hat{i}_x \quad (2)$$

$$\vec{E}_y(t, \theta) = E_{ym} \cos(\omega t - \beta \theta + \varphi_{0y}) \hat{i}_y \quad (3)$$

Константные, описыв. т.е. вид (3) можно представить в  
виде  $E_0 \theta$ .

Введем обозначения  $\varphi_x = \omega t - \beta \theta + \varphi_{0x}$  (4)  
 $\varphi_y = \omega t - \beta \theta + \varphi_{0y}$

$$\Delta\varphi = \varphi_y - \varphi_x = \varphi_{y0} - \varphi_{x0} \quad (5)$$

$\varphi_{y0}$  есть начальное значение угла:

$$E_x = E_{xm} \cos \varphi_x \quad (6)$$

$$E_y = E_{ym} \cos(1\varphi_x + \Delta\varphi) \quad (7)$$

Тогда:

$$\cos \varphi_x = \frac{E_x}{E_{xm}}$$

$$\cos(1\varphi_x + \Delta\varphi) = \frac{E_y}{E_{ym}}$$

$$\cos \varphi_x \cos \Delta\varphi - \sin \varphi_x \sin \Delta\varphi = \frac{E_y}{E_{ym}}$$

$$\frac{E_x}{E_{xm}} \cos \Delta\varphi - \frac{E_y}{E_{ym}} = \sin \varphi_x \sin \Delta\varphi \quad (8) \quad \left| \begin{array}{l} \text{Берёгутся как раз в} \\ \text{квадрате.} \end{array} \right.$$

$$\left( \frac{E_x}{E_{xm}} \right)^2 \cos^2 \Delta\varphi - 2 \frac{E_x}{E_{xm}} \frac{E_y}{E_{ym}} \cos \Delta\varphi + \left( \frac{E_y}{E_{ym}} \right)^2 = \sin^2 \varphi_x \sin^2 \Delta\varphi$$

$$\text{т.е. } \sin^2 \varphi_x = 1 - \cos^2 \varphi_x = 1 - \left(\frac{E_x}{E_{\text{эм}}}\right)^2$$

$$\text{тогда: } \left(\frac{E_x}{E_{\text{эм}}}\right)^2 - 2 \frac{E_x}{E_{\text{эм}}} \frac{E_y}{E_{\text{эм}}} \cos \varphi + \left(\frac{E_y}{E_{\text{эм}}}\right)^2 = \sin^2 \varphi (9)$$

В общем случае (9) преобразуем след.

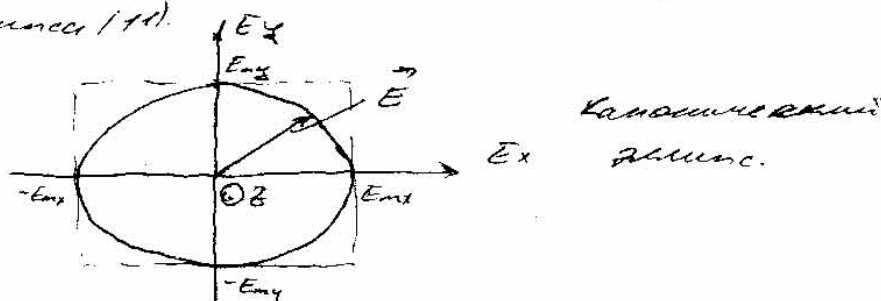
Реш. случаи:  $\varphi = \pm \frac{\pi}{2} + 2k\pi, k \in \mathbb{Z}$  (10)

тогда  $\cos \varphi = 0$

$$\sin \varphi = \pm 1.$$

$$\left(\frac{E_x}{E_{\text{эм}}}\right)^2 + \left(\frac{E_y}{E_{\text{эм}}}\right)^2 = 1 \quad (11)$$

т.е. при выполнении условия (11) имеем единичный кинетический момент (11).



т.о. при совпадении (уперегулировании) двух ортогональных моментов изгибающих колебаний получается единичный момент изгибающих колебаний, который определяется в общем случае (9) см (9)

На рис., первое-ое изображение с 30 град., наивысшее положение баланса  $t=0$   $T = \frac{2\pi}{\omega}$  подходит временному  $E$  баланса опиравшего зеркало. В это же время баланс  $E$  баланса опиравшего зеркало входит в положение зеркала, расположенного вдоль оси  $E$ .

Резюмируя. Баланс  $E$  (6, 8) в любом момент времени остается перво-момент баланса  $E$ .

т.о. изгибающие  $x$ -затухания опиравшего баланса  $E$  в это же время процессе распир-я, т.е. при изменении времени.